

К ТЕОРИИ НЕДНОРОДНЫХ ПО ТОЛЩИНЕ ПЛИТ

И. И. ВОРОВИЧ, И. Г. КАДОМЦЕВ, Ю. А. УСТИНОВ

(*Ростов-на-Дону*)

Некоторые результаты исследований плит по трехмерной теории упругости получены в [1-6].

В предлагаемой работе получены и исследованы однородные решения для неоднородных по толщине плит. Как и в однородном случае [7-9], показано, что внутреннее напряженное состояние определяется двумя бигармоническими функциями, одна из которых эквивалентна обобщенной плоской задаче теории упругости, вторая — задаче изгиба. Напряженное состояние краевого эффекта определяется потенциальным и вихревым решениями. Методами, предложенными в [8, 9], рассмотрена задача для неоднородной плиты при заданных на цилиндрической поверхности напряжениях. Асимптотическим методом задача сведена к решению двух последовательностей бигармонических проблем, одна из них эквивалентна плоской задаче теории упругости, вторая — прикладной теории изгиба плит, и обращению некоторой бесконечной матрицы. Элементы матрицы зависят только от упругих свойств плиты и не зависят от ее геометрии и нагрузок. Показано также, что на границе плиты напряженное состояние краевого эффекта имеет тот же порядок, что и бигармоническое. В первом приближении сформулирована асимптотически точная прикладная теория. Некоторые результаты данной работы представлены в [10].

1. Пусть $\Omega = S \times [-h, h]$ — область, занятая плитой, где S — срединная поверхность, $2h$ — толщина плиты (фиг. 1); S_+ — торцы плиты, соответствующие $z = \pm h$, Γ — боковая поверхность, a — характерный линейный размер S . Будем считать, что материал плиты определяется упругими параметрами Ляме $\lambda = \lambda(\xi)$, $\mu = \mu(\xi)$, где $\lambda(\xi)$, $\mu(\xi)$ — кусочно-непрерывные функции, $z = h\xi$.

Уравнения равновесия Ляме в рассматриваемом случае представим в следующем виде:

$$(1.1) \quad L_1(\varepsilon)\chi = (C_2\chi')' + \varepsilon[(C_1\chi)' + C_1^*\chi'] + \varepsilon^2 C_0\chi$$

$$\chi = \begin{bmatrix} u \\ v \\ w \end{bmatrix}, \quad C_0 = \begin{bmatrix} \mu\Delta + (\lambda + \mu)\partial_1^2 & (\lambda + \mu)\partial_1\partial_2 & 0 \\ (\lambda + \mu)\partial_1\partial_2 & \mu\Delta + (\lambda + \mu)\partial_2^2 & 0 \\ 0 & 0 & \mu\Delta \end{bmatrix}$$

$$C_1 = \begin{bmatrix} 0 & 0 & \mu\partial_1 \\ 0 & 0 & \mu\partial_2 \\ \lambda\partial_1 & \lambda\partial_2 & 0 \end{bmatrix}, \quad C_2 = \begin{bmatrix} \mu & 0 & 0 \\ 0 & \mu & 0 \\ 0 & 0 & \lambda + 2\mu \end{bmatrix}$$

$$\partial_1 = \frac{\partial}{\partial\xi}, \quad \partial_2 = \frac{\partial}{\partial\eta}, \quad \Delta = \partial_1^2 + \partial_2^2, \quad x = a\xi, \quad y = a\eta, \quad z = h\xi, \quad h = a\varepsilon$$

Здесь щтрих означает производную по ξ ; C_1^* — транспонированная матрица-оператор.

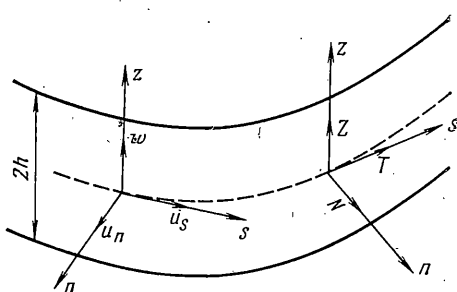
Изучим решения уравнения (1.1), соответствующие отсутствию напряжений на торцах плиты

$$(1.2) \quad L_2(\varepsilon)\chi = [C_2\chi' + C_1\chi]_{\xi=\pm 1} = 0$$

2. Введем потенциальное решение [8, 9] при помощи соотношений (2.1)

$$(2.1) \quad u^{(2)} = \alpha(\xi) \partial_1 A, \quad v^{(2)} = \alpha(\xi) \partial_2 A, \quad w^{(2)} = \gamma \varepsilon^{-1} \beta(\xi) A, \quad \varepsilon^2 \Delta A - \gamma^2 A = 0$$

Подставляя (2.1) в уравнения (1.1) и граничные условия (1.2), приходим к следующей спектральной задаче относительно пары функций



$\alpha(\xi), \beta(\xi)$:

$$(2.2) \quad \begin{aligned} & (\mu \alpha)' + \gamma [(\mu \beta)' + \lambda \beta'] + \\ & + \gamma^2 (\lambda + 2\mu) \alpha = 0 \\ & [(\lambda + 2\mu) \beta']' + \gamma [(\lambda \alpha)' + \\ & + \mu \alpha] + \gamma^2 \mu \beta = 0 \\ & (\alpha' + \gamma \beta)_{\xi=\pm 1} = 0 \\ & [(\lambda + 2\mu) \beta' + \gamma \lambda \alpha]_{\xi=\pm 1} = 0 \end{aligned}$$

Введем следующие обозначения:

γ_h — отличная от нуля точка спектра, (α_h, β_h) — соответствующая ей пара собственных функций; H_μ, H_λ — гильбертовы пространства со скалярными произведениями

$$(g_1, g_2)_{H_\mu} = \int_{-1}^1 \mu g_1 \bar{g}_2 d\xi, \quad (g_1, g_2)_{H_\lambda} = \int_{-1}^1 \lambda g_1 \bar{g}_2 d\xi$$

Теорема 1. Среди $\{\gamma_h\}$ нет чисто мнимых величин.

Доказательство. Умножим первое уравнение (2.2) на α_h , второе — на β_h и проинтегрируем по отрезку $\xi \in [-1, 1]$. После простых преобразований получаем

$$(2.3) \quad \begin{aligned} \gamma_h^2 e_2 + \gamma_h 2e_1 - e_0 &= 0, \quad e_0 = \|\alpha_h\|_{H_\lambda}^2 + \|\beta_h\|_{H_\mu}^2 + 2\|\alpha_h\|_{H_\mu}^2 \\ e_1 &= i \operatorname{Im} [\alpha_h', \beta_h]_{H_\mu} + (\beta_h', \alpha_h)_{H_\lambda}, \quad e_2 = \|\alpha_h'\|_{H_\mu} + \|\beta_h'\|_{H_\lambda} + 2\|\beta_h'\|_{H_\mu} \end{aligned}$$

Теорема имеет место, поскольку коэффициент e_1 чисто мнимый, а дискриминант квадратного уравнения (2.3), как это можно показать, строго больше нуля.

Уравнение (2.3) всегда имеет два корня, один из которых γ_h^- лежит в левой полуплоскости, другой γ_h^+ — в правой, и им соответствует одна и та же пара собственных функций (α_h, β_h) . Следовательно, одно из решений (2.1), соответствующее γ_h^+ или γ_h^- , при $\varepsilon \rightarrow 0$ имеет характер пограничного слоя, локализованного в окрестности поверхности Γ .

При помощи замены

$$\alpha = p_0 \gamma^{-2} f'' - p_2 f, \quad \beta = -\gamma^{-3} (p_0 f'')' - 2\gamma^{-1} (p_1 f') + \gamma^{-1} (p_2 f)'$$

$$p_0 = \frac{\lambda + 2\mu}{4\mu(\lambda + \mu)}, \quad p_1 = \frac{1}{2\mu}, \quad p_2 = \frac{\lambda}{4\mu(\lambda + \mu)}$$

спектральная задача (2.2) сводится к следующей:

$$(2.4) \quad (p_0 f'')'' + \gamma^2 [2(p_1 f')' - (p_2 f)'' - p_2 f''] + \gamma^4 p_0 f = 0, \\ \gamma f(\pm 1) = 0, \quad \gamma f'(\pm 1) = 0$$

Соотношения (2.4) являются обобщением известной спектральной задачи П. Ф. Пашковича [11, 12] на неоднородный случай.

Легко видеть, что структура спектра будет симметричной, т. е. если γ_h — точка спектра, то точками спектра также будут $-\gamma_h, \bar{\gamma}_h, -\bar{\gamma}_h$.

При помощи простых приемов, примененных в [13], можно показать, что имеют место следующие соотношения обобщенной ортогональности:

$$\int_{-1}^1 p_0 (f_k'' f_l'' - \gamma_h^2 \gamma_l^2 f_k f_l) d\xi = 0, \quad k \neq l$$

$$\int_{-1}^1 [2p_1 f_h' f_l' + p_2 (f_h f_l'' + f_l f_h'') - p_0 (\gamma_h^2 + \gamma_l^2) f_h f_l] d\xi = 0$$

В случае $\gamma_h = \gamma_l$ эти выражения отличны от нуля только при отсутствии присоединенных векторов.

В работе [14] доказана двукратная полнота системы собственных присоединенных векторов спектральной задачи (2.4) при условии, что коэффициенты p_0, p_1, p_2 достаточно гладкие. Заметим, что этот же факт имеет место, когда указанные функции кусочно-непрерывны.

3. Введем вихревое решение [8, 9] с помощью соотношений

$$(3.1) \quad u^{(3)} = l(\xi) \partial_2 B, \quad v^{(3)} = -l(\xi) \partial_1 B, \quad w^{(3)} = 0, \quad \varepsilon^2 \Delta B - \delta^2 B = 0$$

Подставляя (3.1) в уравнение (1.1) и граничное условие (1.2), получаем следующую спектральную задачу: $-\mu^{-1}(\mu')' = \delta^2 l, l'(\pm 1) = 0$. Правая часть уравнения и граничное условие определяют некоторый положительный оператор T в пространстве H_μ . Следовательно, все собственные значения $\{\lambda_m(T) = \delta_m^2\}$ неотрицательные и имеют точку сгущения на бесконечности [15], а систему собственных вектор-функций $\{l_k\}$ можно считать ортонормированной, т. е.

$$(l_m, l_n)_{H_\mu} = \int_{-1}^1 \mu l_m l_n d\xi = \begin{cases} 1, & m=n \\ 0, & m \neq n \end{cases}$$

Заметим также, что $\delta = 0$ — точка спектра и ей соответствует собственная функция

$$l_0 = \left(\int_{-1}^1 \mu d\xi \right)^{-\frac{1}{2}}$$

4. Анализ соотношений (2.2) показывает, что $\gamma = 0$ — кратная точка спектра и ей соответствует некоторая жорданова цепочка. Кроме того, как было показано выше, $\delta = 0$ — также точка спектра. Эти два факта позволяют сделать вывод, что существует еще одно частное решение уравнений (1.1), (1.2), для построения которого в силу кратности точки спектра требуется специальный подход. В однородном случае [7-9] это решение выражается через две бигармонические функции. Покажем, что этот факт имеет место и в рассматриваемом случае неоднородной плиты.

Введем в соотношения (1.1), (1.2) спектральный параметр σ : $\partial_1 = \varepsilon^{-1} \sigma \partial_1^\circ$, $\partial_2 = \varepsilon^{-1} \sigma \partial_2^\circ$, после чего получаем следующую спектральную задачу:

$$(4.1) \quad L(\sigma) \chi = \{L_1^\circ(\sigma) \chi, L_2^\circ(\sigma) \chi\} = 0$$

Здесь операторы $L_1^\circ(\sigma)$, $L_2^\circ(\sigma)$ получаются соответственно из операторов $L_1(\varepsilon)$, $L_2(\varepsilon)$ заменой ε на σ и ∂_1 , ∂_2 на ∂_1° , ∂_2° .

Предположим, что $\sigma_0 = 0$ является кратной точкой спектра и построим жорданову цепочку по схеме [16]

$$(4.2) \quad \begin{aligned} L(\sigma_0) \chi_0 &= 0, \quad L(\sigma_0) \chi_1 + \frac{\partial L(\sigma_0)}{\partial \sigma_0} \chi_0 = 0 \\ L(\sigma_0) \chi_2 + \frac{\partial L(\sigma_0)}{\partial \sigma_0} \chi_1 + \frac{1}{2} \frac{\partial^2 L(\sigma_0)}{\partial \sigma_0^2} \chi_0 &= 0 \end{aligned}$$

Здесь χ_0 — собственный вектор, отвечающий соответствующему числу σ_0 , а $\chi_1, \dots, \chi_{r-1}$ — присоединенные векторы к собственному вектору χ_0 .

После интегрирования системы (4.2) получаем (нуль над операторами опускаем)

$$(4.3) \quad u_0 = u_0(\xi, \eta), \quad v_0 = v_0(\xi, \eta), \quad w_0 = w_0(\xi, \eta)$$

$$(4.4) \quad u_1 = -\xi \partial_1 w_0 + u_1^\circ(\xi, \eta), \quad v_1 = -\xi \partial_2 w_0 + v_1^\circ(\xi, \eta)$$

$$w_1 = -k_1(\xi) (\partial_1 u_0 + \partial_2 v_0)$$

$$(4.5) \quad \Gamma_1^*(u_0, v_0) = [(\lambda^* + 2\mu^*) \partial_1^2 + \mu^* \partial_2^2] u_0 + (\lambda^* + \mu^*) \partial_1 \partial_2 v_0 = 0$$

$$\Gamma_2^*(u_0, v_0) = (\lambda^* + \mu^*) \partial_1 \partial_2 u_0 + [(\lambda^* + 2\mu^*) \partial_2^2 + \mu^* \partial_1^2] v_0 = 0$$

$$(4.6) \quad u_2 = \Gamma_1^\circ(u_0, v_0) + u_2^\circ(\xi, \eta) = [(\lambda^\circ + 2\mu^\circ) \partial_1^2 + \mu^\circ \partial_2^2] u_0 +$$

$$+ (\lambda^\circ + \mu^\circ) \partial_1 \partial_2 v_0 + u_2^\circ(\xi, \eta)$$

$$v_2 = \Gamma_2^\circ(u_0, v_0) + v_2^\circ(\xi, \eta) = (\lambda^\circ + \mu^\circ) \partial_1 \partial_2 u_0 +$$

$$+ [\mu^\circ \partial_1^2 + (\lambda^\circ + 2\mu^\circ) \partial_2^2] v_0 + v_2^\circ(\xi, \eta)$$

$$w_2 = k_2(\xi) (\partial_2^2 + \partial_1^2) w_0 - k_1(\xi) (\partial_1 u_0 + \partial_2 v_0) + w_2^\circ(\xi, \eta)$$

$$(4.7) \quad \Gamma_1^*(u_1^\circ, v_1^\circ) = a^* \partial_1 \Delta w_0, \quad \Gamma_2^*(u_1^\circ, v_1^\circ) = a^* \partial_2 \Delta w_0$$

$$(4.8) \quad u_3 = \Gamma_1^\circ(u_1^\circ, v_1^\circ) + q_1(\xi) \partial_1 \Delta w_0 - \xi \partial_1 w_2^\circ + u_3^\circ(\xi, \eta)$$

$$v_3 = \Gamma_2^\circ(u_1^\circ, v_1^\circ) + q_1(\xi) \partial_2 \Delta w_0 - \xi \partial_2 w_2^\circ + v_3^\circ(\xi, \eta)$$

$$w_3 = k_2(\xi) \Delta w_1^\circ - k_1(\xi) (\partial_1 u_2^\circ + \partial_2 v_2^\circ) + w_3^\circ(\xi, \eta)$$

$$(4.9) \quad \Gamma_1^*(u_2^\circ, v_2^\circ) = a^* \partial_1 \Delta w_1^\circ, \quad \Gamma_2^*(u_2, v_2) = a^* \partial_2 \Delta w_2^\circ, \quad \Delta^2 w_0 = 0$$

$$(4.10) \quad u_4 = \Gamma_1^\circ(u_2^\circ, v_2^\circ) + q_1(\xi) \partial_1 \Delta w_1^\circ - \xi \partial_1 w_3^\circ + u_4^\circ(\xi, \eta)$$

$$v_4 = \Gamma_2^\circ(u_2^\circ, v_2^\circ) + q_1(\xi) \partial_2 \Delta w_1^\circ - \xi \partial_2 w_3^\circ + v_4^\circ(\xi, \eta)$$

$$w_4 = k_2(\xi) \Delta w_2^\circ - k_1(\xi) (\partial_1 u_3^\circ + \partial_2 v_3^\circ) + w_4^\circ(\xi, \eta)$$

$$(4.11) \quad \mu^* = \int_{-1}^1 \mu d\xi, \quad \lambda^* = \int_{-1}^1 \frac{2\lambda\mu}{\lambda+2\mu} d\xi, \quad a^* = \int_{-1}^1 \frac{4\mu(\lambda+\mu)}{\lambda+2\mu} \xi d\xi$$

$$k_1(\xi) = \int_0^\xi \frac{\lambda d\xi}{\lambda+2\mu}, \quad k_2(\xi) = \int_0^\xi \frac{\lambda \xi d\xi}{\lambda+2\mu}, \quad \mu^\circ = \int_0^\xi \frac{d\xi_1}{\mu} \int_{\xi_1}^1 \mu d\xi_2$$

$$\lambda^\circ = \int_0^\xi \frac{\lambda(\xi-\xi_1) d\xi_1}{\lambda+2\mu} + \int_0^\xi \frac{d\xi_1}{\mu} \int_{\xi_1}^1 \frac{2\lambda\mu d\xi_2}{\lambda+2\mu}$$

$$q(\xi) = \int_0^\xi \frac{\lambda(\xi_1-\xi) \xi_1 d\xi_1}{\lambda+2\mu} - \int_0^\xi \frac{d\xi_1}{\mu} \int_{\xi_1}^1 \frac{4\mu(\lambda+\mu)}{\lambda+2\mu} \xi_2 d\xi_2$$

Следующий этап интегрирования приводит к соотношениям типа (4.9), (4.10), где индекс у всех функций $u_3^\circ, v_3^\circ, w_3^\circ$ увеличивается на единицу.

Заметим, что неоднородные уравнения (4.7) имеют решение вида

$$u_1^\circ = \frac{a^*}{\lambda^* + 2\mu^*} \partial_1 w_0, \quad v_1^\circ = \frac{a^*}{\lambda^* + 2\mu^*} \partial_2 w_0$$

Аналогичный вид имеет неоднородное решение уравнений (4.9)

Таким образом, $\sigma_0 = 0$ является четырехкратным собственным значением задачи (4.1), ему соответствует построенная выше якоранова цепочка u_s, v_s, w_s ($s=0, 1, 2, 3$). Из соотношений (4.3) — (4.10) следует, что частное решение задачи (4.1), которое будем называть бигармоническим, определяется через функции $u_0(\xi, \eta), v_0(\xi, \eta)$, удовлетворяющие уравнениям (4.5) плоской теории упругости с приведенными упругими параметрами λ^*, μ^* , и бигармоническую функцию w_0 .

Вводя вместо u_0, v_0 бигармоническую функцию $\Phi_0(\xi, \eta)$ и полагая $w_0=a\Phi_1(\xi, \eta)$, получаем следующие выражения для перемещений и напряжений бигармонического решения:

$$(4.12) \quad u^{(1)}=a\varepsilon \left[\varphi_1+b\partial_1\Phi_1-\partial_1 \sum_{i=0}^4 (\xi^i\Phi_i-\varepsilon^2 q_i\Delta\Phi_i) \right]$$

$$v^{(1)}=a\varepsilon \left[\varphi_2+b\partial_2\Phi_1-\partial_2 \sum_{i=0}^4 (\xi^i\Phi_i-\varepsilon^2 q_i\Delta\Phi_i) \right]$$

$$w^{(1)}=a \left[\Phi_1+\varepsilon^2(k_2-k_1b)\Delta\Phi_1-\varepsilon^2 \frac{k_1\mu^*}{\lambda^*+\mu^*} \Delta\Phi_0 \right]$$

$$(4.13) \quad \sigma_x^{(1)}=2\mu\varepsilon \left[-b\partial_2^2\Phi_1+\sum_{i=0}^4 (\xi^i\partial_2^2+r_i\Delta-\varepsilon^2 q_i\partial_2\Delta)\Phi_i \right]$$

$$\sigma_y^{(1)}=2\mu\varepsilon \left[-b\partial_1^2\Phi_1+\sum_{i=0}^4 (\xi^i\partial_1^2+r_i\Delta-\varepsilon^2 q_i\partial_1\Delta)\Phi_i \right]$$

$$\tau_{xy}^{(1)}=-2\mu\varepsilon\partial_1\partial_2 \left[b\Phi_1+\sum_{i=0}^4 (\xi^i+\varepsilon^2 q_i\Delta)\Phi_i \right], \quad \sigma_z^{(1)}=0$$

$$\tau_{xz}^{(1)}=\varepsilon^2 \sum_{i=0}^4 r_i^*\partial_1\Delta\Phi_i, \quad \tau_{yz}^{(1)}=\varepsilon^2 \sum_{i=0}^4 r_i^*\partial_2\Delta\Phi_i$$

Здесь φ_1, φ_2 — сопряженные гармонические функции, связанные с Φ_0 соотношением

$$\partial_1\varphi_1=\partial_2\varphi_2=\frac{\lambda^*+2\mu^*}{2(\lambda^*+\mu^*)}\Delta\Phi_0$$

$$q_0(\xi)=\frac{\mu^*\lambda^\circ-\lambda^*\mu^\circ}{\lambda^*+\mu^*}, \quad q_1(\xi)=q(\xi)+b(\lambda^\circ+2\mu^\circ)$$

$$r_0(\xi)=\frac{2\mu^*\lambda-\lambda^*(\lambda+2\mu)}{2(\lambda^*+\mu^*)(\lambda+2\mu)}, \quad r_1(\xi)=\frac{2(\lambda+\mu)}{\lambda+2\mu}(b-\xi)$$

$$r_s^*=2 \int_{\xi}^1 \mu r_s(\xi) d\xi \quad (s=0,1), \quad b=(\lambda^*+2\mu^*)a^*$$

Для однородной плиты выражения (4.12), (4.13) с точностью до не существенных множителей совпадают с формулами, полученными в [8] для бигармонического решения. Заметим, что для плиты с симметричной по толщине структурой $a^*=b=0$ и напряженно-деформированное состояние расщепляется на симметричное, определяемое функцией $\Phi_0(\xi, \eta)$, и кососимметричное, определяемое функцией $\Phi_1(\xi, \eta)$; если F_s — достаточно медленно меняющиеся функции, то, как видно из (4.12), (4.13), при достаточно малом ε выполняются гипотезы Кирхгофа.

5. Рассмотрим задачу, когда к боковой поверхности плиты Γ приложены напряжения

$$(5.1) \quad \sigma_n|_{\Gamma}=N(s, \xi), \quad \tau_{ns}|_{\Gamma}=T(s, \xi), \quad \tau_{nt}|_{\Gamma}=Z(s, \xi)$$

Здесь n, s, ξ — местные безразмерные координаты (фиг. 1), связанные с границей S , которую обозначим ∂S .

Деформированное состояние плиты будем отыскивать в виде

$$(5.2) \quad u = \sum_{i=1}^3 u^{(i)}, \quad v = \sum_{i=1}^3 v^{(i)}, \quad w = \sum_{i=1}^3 w^{(i)}$$

Как и в [8, 9], будем считать, что задача решена, если по заданным на Γ напряжениям определяются граничные условия для функций Φ_i , A_k , B_m . Воспользуемся вариационным принципом Лагранжа. В рассматриваемом случае, учитывая, что перемещения, определяемые по (5.2), удовлетворяют уравнениям равновесия и граничным условиям (1.2), получаем

$$(5.3) \quad \iint_{\Gamma} \{ (\sigma_n - N) [\delta u_n^{(1)} + \epsilon a(b-\xi) \delta \partial_n \Phi_1 + \delta u_n^{(2)} + \delta u_n^{(3)}] + \\ + (\tau_{ns} - T) [\delta u_{s0} + \epsilon a(b-\xi) \delta \partial_s \Phi_1 + \delta u_s^{(2)} + \delta u_s^{(3)}] + \\ + (\tau_{nz} - Z) (a \delta \Phi_1 + \delta w^{(2)}) \} d\xi ds = 0$$

$$(5.4) \quad \sigma_n = 2\mu\epsilon \left[-bQ_n \Phi_1 + \sum_{i=0}^4 (\xi^i Q_n + r_i \Delta - \epsilon^2 q_i Q_n \Delta) \Phi_i \right] + \\ + \epsilon \sum_{k=1}^{\infty} [f_k''(\xi) A_k - \epsilon^2 2\mu \alpha_k(\xi) Q_n A_k] - 2\mu\epsilon^3 \sum_{m=1}^{\infty} l_m(\xi) Q_s B_m \\ \tau_{ns} = 2\mu\epsilon Q_s \left[-b \Phi_1 + \sum_{i=0}^4 (\xi^i \Phi_i + \epsilon^2 q_i \Delta \Phi_i) \right] - \\ - 2\mu\epsilon^3 \sum_{k=1}^{\infty} \alpha_k(\xi) Q_s A_k + \epsilon \sum_{m=1}^{\infty} [(\mu l_m')' B_m - 2\mu\epsilon^2 l_m Q_n B_m] \\ \tau_{nz} = \epsilon^2 \sum_{i=0}^4 r_i * \frac{\partial \Delta \Phi_i}{\partial n} - \epsilon^2 \sum_{k=1}^{\infty} f_k'(\xi) \frac{\partial A_k}{\partial n} + \mu\epsilon^2 \sum_{m=1}^{\infty} l_m' \frac{\partial B_m}{\partial s} \frac{1}{H}$$

$$(5.5) \quad u_n^{(2)} + u_n^{(3)} = a\epsilon^3 \sum_{k=1}^{\infty} \alpha_k(\xi) \frac{\partial A_k}{\partial n} - a\epsilon^3 \sum_{m=1}^{\infty} \frac{1}{H} l_m(\xi) \frac{\partial B_m}{\partial s} \\ u_s^{(2)} + u_s^{(3)} = a\epsilon^3 \sum_{k=1}^{\infty} \alpha_k(\xi) \frac{1}{H} \frac{\partial A_k}{\partial s} - a\epsilon^3 \sum_{m=1}^{\infty} l_m(\xi) \frac{\partial B_m}{\partial n} \\ Q_n(\dots) = \left(\frac{1}{H^2} \frac{\partial^2}{\partial n^2} + \frac{a}{RH} \frac{\partial}{\partial n} + n \frac{aR'}{H^3 R^2} \frac{\partial}{\partial s} \right) (\dots) \\ Q_s(\dots) = - \left(\frac{1}{H} \frac{\partial^2}{\partial n \partial s} - \frac{a}{H^2 R} \frac{\partial}{\partial s} \right) (\dots), \quad H = 1 + n \frac{a}{R}$$

где R — радиус кривизны контура ∂S .

Обозначим через $a_k(s)$, $b_m(s)$ граничные значения соответственно функций $A_k(\xi, \eta)$, $B_m(\xi, \eta)$ на контуре ∂S и, следуя [9], введем оператор S_h , определяемый так:

$$S_h a_k = \epsilon \frac{\partial A_k}{\partial n} \Big|_{\Gamma}$$

Полагая теперь в (5.3) отличными от нуля только вариации δu_{0n} , δu_{0s} , $\delta \Phi_1$, $\delta \partial_n \Phi_1$, каждую из которых считаем независимой, получаем

$$(5.6) \quad Q_n \left[\mu^{(0)} \Phi_0 + (\mu^{(1)} - b\mu^{(0)}) \Phi_1 - \varepsilon^2 (q_0^{(0)} \Delta \Phi_0 + q_1^{(0)} \Delta \Phi_1) - \varepsilon^2 \sum_{h=1}^{\infty} \alpha_h^{(0)} A_h \right]_{n=0} = N_0$$

$$Q_s \left[\mu^{(0)} \Phi_0 + (\mu^{(1)} - b\mu^{(0)}) \Phi_1 - \varepsilon^2 (q_0^{(0)} \Delta \Phi_0 + q_1^{(0)} \Delta \Phi_1) - 2\varepsilon^2 \sum_{h=1}^{\infty} \alpha_h^{(0)} A_h \right]_{n=0} = T_0$$

$$(5.7) \quad Q_n \left[\mu^{(1)} \Phi_0 + (\mu^{(2)} - b\mu^{(1)}) \Phi_1 - \varepsilon^2 (q_0^{(1)} \Delta \Phi_0 + q_1^{(1)} \Delta \Phi_1) + \sum_{i=0}^1 r_i^{(1)} \Delta \Phi_i - \varepsilon^2 \sum_{h=1}^{\infty} \alpha_h^{(1)} A_h \right]_{n=0} + \varepsilon \sum_{m=1}^{\infty} l_m \left(S_m b_m' - \varepsilon \frac{a}{R} b_m'' \right) = M_{nn}$$

$$\partial_s Q_s \left[\mu^{(1)} \Phi_0 + (\mu^{(2)} - b\mu^{(1)}) \Phi_1 - \varepsilon^2 (q_0^{(1)} \Delta \Phi_0 + q_1^{(1)} \Delta \Phi_1) + \sum_{i=0}^1 r_i \Delta \Phi_i - \varepsilon^2 \sum_{h=1}^{\infty} \alpha_h^{(1)} A_h \right]_{n=0} - \varepsilon^2 \sum_{m=1}^{\infty} l_m^{(1)} \delta_m^{-2} (a R^{-1} S_m b_m + \varepsilon b_m'') = Z_0 + \frac{\partial M_{ns}}{\partial s}$$

$$(5.8) \quad 2\varepsilon N_0 = \int_{-1}^1 N d\xi, \quad 2\varepsilon T_0 = \int_{-1}^1 T d\xi, \quad 2\varepsilon Z_0 = \int_{-1}^1 Z d\xi$$

$$2\varepsilon M_{nn} = \int_{-1}^1 N \xi d\xi, \quad 2\varepsilon M_{ns} = \int_{-1}^1 T \xi d\xi$$

$$\mu^{(t)} = \int_{-1}^1 \mu \xi^t d\xi, \quad q_i^{(t)} = \int_{-1}^1 q_i(\xi) \xi^t d\xi, \quad r_i^{(t)} = \int_{-1}^1 r_i \xi^t d\xi$$

$$\alpha_h^{(t)} = \int_{-1}^1 \mu \alpha_h(\xi) \xi^t d\xi, \quad l_m^{(t)} = \int_{-1}^1 \mu l_m' d\xi$$

Варьируя граничные значения A_h , получаем бесконечную систему уравнений

$$(5.9) \quad 2S_p * Q_n \left[-b\alpha_p^{(0)} \Phi_1 + \sum_{i=0}^1 (\alpha_p^{(i)} \Phi_i - \varepsilon^2 q_{ip} \Delta \Phi_i) \right]_{n=0} + \sum_{i=0}^1 (r_{ip} S_p \Delta \Phi_i)_{n=0} + \sum_{h=1}^{\infty} C_{ph}^{(1)} S_p * a_h - 2\varepsilon \sum_{h=1}^{\infty} \alpha_{ph} (a R^{-1} S_p * S_h a_h - \varepsilon S_p * a_h'') + 2\varepsilon^2 \sum_{m=1}^{\infty} l_{pm} (S_p * S_m b_m' - a R^{-1} S_p * b_m') - 2\varepsilon Q_s \left[-b\alpha_p^{(0)} \Phi_1 + \sum_{i=0}^1 (\alpha_p^{(i)} \Phi_i - \varepsilon^2 q_{ip} \Delta \Phi_i) \right]_{n=0} -$$

$$\begin{aligned}
 & -2\varepsilon^3 \sum_{k=1}^{\infty} \alpha_{pk} (S_k a_k' - a R^{-1} a_k') - \varepsilon \sum_{m=1}^{\infty} l_{pm} [\delta_m^2 b_m + \\
 & + 2\varepsilon (a R^{-1} S_m b_m + \varepsilon b_m'')]] + \varepsilon \left(\sum_{i=0}^1 r_{ip} \frac{\partial \Delta \Phi_i}{\partial n} \right)_{n=0} + \\
 & + \sum_{k=1}^{\infty} C_{pk} S_k a_k + \varepsilon \sum_{m=1}^{\infty} l_{pm}^{(1)} b_m' = S_p N_p - \varepsilon T_p' + Z_p
 \end{aligned}$$

Здесь S_m^* — оператор, сопряженный S_m

$$\begin{aligned}
 (5.10) \quad r_{ip} &= \int_{-1}^1 r_i \alpha_p d\xi, \quad r_{ip}^* = \int_{-1}^1 r_i^* \alpha_p d\xi, \quad q_{ip} = \int_{-1}^1 q_i \alpha_p d\xi \\
 C_{pk}^{(1)} &= \int_{-1}^1 f_k'' \alpha_p d\xi, \quad C_{pk}^{(2)} = - \int_{-1}^1 f_k' \beta_p d\xi \\
 \alpha_{pk} &= 2 \int_{-1}^1 \mu \alpha_k \alpha_p d\xi, \quad l_{pm} = \int_{-1}^1 \mu l_m \alpha_p d\xi, \quad l_{mp}^{(1)} = \int_{-1}^1 \mu l_m' \beta_p d\xi \\
 \varepsilon N_p &= \int_{-1}^1 N \alpha_p d\xi, \quad \varepsilon T_p = \int_{-1}^1 T \alpha_p d\xi, \quad \varepsilon^2 Z_p = \int_{-1}^1 Z \beta_p d\xi
 \end{aligned}$$

Варьируя граничные значения функций B_m , получаем

$$\begin{aligned}
 (5.11) \quad & 2 \left[S_m^* Q_n \left(l_m^{(1)} \Phi_1 + \varepsilon^2 \sum_{i=0}^1 q_{im} \circ \Delta \Phi_i \right) + \varepsilon \partial_s Q_n \Phi_1 \right]_{n=0} + \\
 & + 2\varepsilon \sum_{i=0}^1 [r_{im} \circ \partial_s \Delta \Phi_i - \varepsilon^2 q_{im} \circ \partial_s Q_n \Delta \Phi_i]_{n=0} + \varepsilon \sum_{k=1}^{\infty} f_{mk} a_k' - \\
 & - 2\varepsilon^2 \sum_{k=1}^{\infty} l_{km} (a R^{-1} S_k a_k + \varepsilon a_k'')' + 2\varepsilon^2 (S_m b_m' - \varepsilon a R^{-1} b_m') + \\
 & + 2\varepsilon S_m^* \sum_{k=1}^{\infty} l_{km} (S_k a_k' - \varepsilon a R^{-1} a_k') - \\
 & - S_m^* [\delta_m^2 b_m + \varepsilon^2 (a R^{-1} \delta_m b_m + \varepsilon b_m'')] = S_m T_m + \varepsilon N_m'
 \end{aligned}$$

$$\begin{aligned}
 (5.12) \quad & q_{im} \circ = \int_{-1}^1 \mu q_i l_m d\xi, \quad r_{im} \circ = \int_{-1}^1 \mu r_i l_m d\xi, \quad \varepsilon T_m = \int_{-1}^1 T l_m d\xi \\
 & \varepsilon N_m = \int_{-1}^1 N l_m d\xi, \quad (m=1,2,\dots)
 \end{aligned}$$

Аналогично [8, 9], получена замкнутая система уравнений, полностью определяющая решение задачи. Уравнения (5.6), (5.7) определяют граничные условия для бигармонических функций Φ_i . Система (5.9), (5.11) определяет все a_k и, наконец, из

уравнения (5.14) находятся все граничные значения $b_m(s)$. Исключая с помощью систем (5.9) – (5.11) функции $a_k(s)$, $b_m(s)$ из уравнений (5.6), (5.7), получаем точную формулировку краевой задачи для определения внутреннего напряженно-деформированного состояния плиты. Для плиты симметричного относительно срединной плоскости строения эта задача упрощается, расчленяясь на две независимые задачи относительно функций Φ_0 , Φ_1 .

6. Задачу можно упростить, если параметр ε достаточно мал, а граничные значения σ_n^0 , τ_{ns}^0 , τ_{nz}^0 таковы, что определяемые ими функционалы (5.8), (5.10), (5.12) являются достаточно медленно изменяющимися функциями параметра s . В этом случае к рассматриваемой задаче можно применить асимптотический метод в варианте [8, 9]. Будем искать решения в виде

$$(6.1) \quad \Phi_i = \Phi_{i0} + \varepsilon \Phi_{i1} + \dots, \quad a_k(s) = a_{k0} + \varepsilon a_{k1} + \dots \\ b_m(s) = b_{m0} + \varepsilon b_{m1} + \dots$$

предполагая, что внешняя нагрузка представима в виде разложений

$$(6.2) \quad N(s, \xi) = \varepsilon (N^{(0)} + \varepsilon^2 N^{(2)} + \dots), \quad T(s, \xi) = \varepsilon (T^{(0)} + \varepsilon^2 T^{(2)} + \dots) \\ Z(s, \xi) = \varepsilon^2 (Z^{(0)} + \varepsilon^2 Z^{(2)} + \dots)$$

Подставляя (6.1), (6.2) в выражения (5.6) – (5.12) и используя для операторов S_m и S_m^* их асимптотические представления [9], получаем рекуррентную систему для определения коэффициентов разложения (6.1). В первом приближении получаем следующие соотношения:

$$(6.3) \quad Q_n [\mu^{(0)} \Phi_{00} + (\mu^{(1)} - b\mu^{(0)}) \Phi_{10}]_{n=0} = N_0^{(0)} \\ Q_s [\mu^{(0)} \Phi_{00} + (\mu^{(1)} - b\mu^{(0)}) \Phi_{10}]_{n=0} = T_0^{(0)}$$

$$(6.4) \quad Q_n [\mu^{(1)} \Phi_{00} + (\mu^{(2)} - b\mu^{(1)}) \Phi_{10}]_{n=0} + Q_n \sum_{i=0}^1 r_i^{(1)} \Delta \Phi_i|_{n=0} = M_{nn}^{(0)} \\ r_i^{(1)} \frac{\partial \Delta \Phi_i}{\partial n} + \partial_s Q_s [\mu^{(1)} \Phi_{00} + (\mu^{(2)} - b\mu^{(1)}) \Phi_{10}]_{n=0} = Z_0^{(0)} + \frac{\partial M_{ns}^{(0)}}{\partial s}$$

$$(6.5) \quad \sum_{k=1}^{\infty} C_{ph} a_{k0} = \gamma_p N_p^{(0)} + Z_p^{(0)} + 2\gamma_p \left[b Q_n \Phi_{10} - \sum_{i=0}^1 (\alpha_p^{(i)} Q_n \Phi_{10} + r_{ip} \Delta \Phi_{10}) \right]_{n=0} \\ C_{ph} = (\gamma_p + \gamma_h) \int_{-1}^1 p_1 f_h' f_p' d\xi + (\gamma_p - \gamma_h) \int_{-1}^1 [p_2 (f_h'' f_p - f_p'' f_h) + (\gamma_h^2 - \gamma_p^2) p_0 f_h f_p] d\xi$$

$$(6.6) \quad b_{m0} = \delta_m^{-2} [T_m^{(0)} - 2l_m^{(1)} Q_n \Phi_{10}]_{n=0}$$

Разъясним полученные соотношения. Решение краевой задачи (6.3), (6.4) для бигармонических функций Φ_{00} , Φ_{10} совместно с формулами (4.12), (4.13) определяет асимптотически точное (с погрешностью $O(\varepsilon)$) внутреннее напряженно-деформированное состояние плиты и поэтому может служить критерием правильности той или иной прикладной теории неоднородных (многослойных) плит.

Задачу (6.3), (6.4) можно свести к последовательному решению двух независимых задач, введя новую бигармоническую функцию

$$(6.7) \quad \Phi = \mu^{(0)} \Phi_{00} + (\mu^{(1)} - b\mu^{(0)}) \Phi_{10}$$

Последняя определяется граничными условиями (6.3). С помощью представления Гурса для Φ и формул Колесова – Мусхелишвили этой задаче можно придать классический вид.

Исключая из (6.4) с помощью (6.7) Φ_{00} , приходим к обобщенной задаче изгиба относительно функции Φ_{10}

$$(d_1\Delta + d_2Q_n)\Phi_{10} = M_{nn}^{\circ} = M_{nn} - \frac{\mu^{(1)}}{\mu^{(0)}}Q_n\Phi - \frac{r_1^{(1)}}{\mu^{(0)}}\Delta\Phi$$

$$[d_1\partial_n\Delta\Phi_{10} + d_2\partial_sQ_s\Phi_{10}]_{n=0} = Z_0^{\circ} + \partial_sM_{ns}^{\circ}, \quad Z_0^{\circ} = Z_0 - \frac{r_1^{(1)}}{\mu^{(0)}}\frac{\partial\Delta\Phi}{\partial n} \Big|_{n=0}$$

$$M_{ns}^{\circ} = M_{ns} - \frac{\mu^{(1)}}{\mu^{(0)}}Q_n\Phi \Big|_{n=0}, \quad d_1 = r_1^{(1)} \left(b - \frac{\mu^{(1)}}{\mu^{(0)}} \right) + r_2^{(1)}, \quad d_2 = \frac{\mu^{(0)}\mu^{(2)} - (\mu^{(1)})^2}{\mu^{(0)}}$$

Отметим, что для плит симметричного строения получаются независимые задачи относительно Φ_{00} и Φ_{10} .

Для определения a_{k0} получена бесконечная система (6.5), матрица которой зависит только от упругих параметров $\lambda(\xi)$, $\mu(\xi)$. Условия разрешимости этой системы рассмотрены в [14].

Определение следующих членов разложений (6.1), как в [17], позволяет построить уточненные прикладные теории.

7. Рассмотрим поведение напряжений на боковой поверхности плиты Г. Имеем

$$(7.1) \quad \sigma_n = \varepsilon \left\{ 2\mu \left[-bQ_n\Phi_{10} + \sum_{i=0}^1 (\xi^i Q_n\Phi_{i0} + r_i\Delta\Phi_{i0}) \right]_{n=0} + \sum_{k=1}^{\infty} f_k''(\xi) a_{k0} \right\} +$$

$$+ \varepsilon^2 \left\{ 2\mu \left[-bQ_n\Phi_{11} + \sum_{i=0}^1 (\xi^i Q_n\Phi_{i1} + r_i\Delta\Phi_{i1}) \right]_{n=0} + \right.$$

$$+ \sum_{k=1}^{\infty} [f_k''(\xi) a_{k1} - 2\mu aR^{-1}\gamma_k\alpha_k(\xi) a_{k0}] + 2\mu \sum_{m=1}^{\infty} \delta_m l_m(\xi) b_m' \Big\} + \dots$$

$$\sigma_s = \varepsilon \left\{ 2\mu \left[-b\partial_n^2\Phi_{10} + \sum_{i=0}^1 (\xi^i \partial_n^2\Phi_{i0} + r_i\Delta\Phi_{i0}) \right]_{n=0} + \right.$$

$$+ \sum_{k=1}^{\infty} [f_k''(\xi) + 2\mu\gamma_k^2\alpha_k(\xi)] a_{k0} \Big\} +$$

$$+ \varepsilon^2 \left\{ 2\mu \left[-b\partial_n^2\Phi_{11} + \sum_{i=0}^1 (\xi^i \partial_n^2\Phi_{i1} + r_i\Delta\Phi_{i1}) \right]_{n=0} + \right.$$

$$+ \sum_{k=1}^{\infty} [(f_k'' + 2\mu\gamma_k^2\alpha_k)a_{k1} - 2\mu aR^{-1}\gamma_k\alpha_k a_{k0}] - 2\mu \sum_{m=1}^{\infty} \delta_m l_m(\xi) b_m' \Big\} + O(\varepsilon^2)$$

$$\sigma_z = \varepsilon \sum_{k=1}^{\infty} \gamma_k^2 f_k(a_{k0} + \varepsilon a_{k1} + \dots)$$

$$\tau_{ns} = \varepsilon \left\{ 2\mu \left[-bQ_s\Phi_{10} + \sum_{i=0}^1 \xi^i Q_s\Phi_{i0} \right]_{n=0} - \mu \sum_{m=1}^{\infty} \delta_m^2 l_m b_{m0} \right\} +$$

$$+ \varepsilon^2 \left\{ 2\mu \left[-bQ_s\Phi_{11} + \sum_{i=0}^1 \xi^i Q_s\Phi_{i1} \right]_{n=0} + 2\mu \sum_{k=1}^{\infty} \gamma_k \alpha_k(\xi) a_{k0} - \right.$$

$$\begin{aligned}
 & -\mu \sum_{m=1}^{\infty} [\delta_m^2 l_m(\xi) b_{m1} - 2l_m(\xi) \delta_m b_{m0}] \Big\} + O(\varepsilon^2) \\
 \tau_{nz} = & -\varepsilon \sum_{h=1}^{\infty} \gamma_h f_h'(\xi) a_{h0} + \varepsilon^2 \left[\sum_{i=0}^1 r_i * \partial_n \Delta \Phi_{i0} \right]_{n=0} - \\
 & - \sum_{k=1}^{\infty} f_k'(\xi) (\gamma_k a_{k1} - 0.5aR^{-1}a_{k0}) + \mu \sum_{m=1}^{\infty} l_m'(\xi) b_{m0}' \Big] + \dots \\
 \tau_{zs} = & -\varepsilon \mu \sum_{m=1}^{\infty} \delta_m l_m' b_{m0} + \varepsilon^2 \left[\sum_{i=0}^1 r_i * \partial_s \Delta \Phi_{i0} \right]_{n=0} - \\
 & - \sum_{h=1}^{\infty} f_h'(\xi) a_{h0}' - \mu \sum_{m=1}^{\infty} l_m' (\delta_m b_{m1} - 0.5aR^{-1}b_{m0}) \Big] + \dots
 \end{aligned}$$

Анализ выражений (7.1) показывает, что, как и в однородной плите [8, 9], пограничные решения в напряжениях σ_n , σ_s и τ_{ns} имеют тот же порядок относительно ε , что и основное решение, а в напряжениях σ_z , τ_{nz} , τ_{sz} они играют основную роль и делают эти напряжения того же порядка, что и σ_n , σ_s , τ_{ns} .

Отметим, что разработанный подход можно обобщить и на неоднородные трансверсально изотропные плиты, на плиты из вязкоупругих материалов и т. п.

Поступила 16 IV 1973

ЛИТЕРАТУРА

- Гусейн-Заде М. И. К построению теории изгиба слоистых пластинок. ПММ, 1968, т. 32, вып. 2.
- Гусейн-Заде М. И. Напряженное состояние пограничного слоя для слоистых пластинок. Тр. VII Всес. конф. по теории оболочек и пластинок. М., «Наука», 1969.
- Ворович И. И., Кадомцев И. Г. Качественное исследование напряженно-деформированного состояния трехслойной плиты. ПММ, 1970, т. 34, вып. 5.
- Кадомцев И. Г. Краевой эффект в трехслойной плите. Изв. Северо-Кавказ. науч. центра высшей школы, 1973, № 4.
- Раппопорт Р. М. Некоторые задачи теории изгиба толстых многослойных плит. Изв. Всес. н.-и. ин-та гидротехники, 1966, т. 80.
- Раппопорт Р. М. К теории изгиба слоистых плит. В сб.: Расчет пространственных конструкций, вып. 13, М., Стройиздат, 1970.
- Лурье А. И. К теории толстых плит. ПММ, 1942, т. 6, вып. 2—3.
- Аксентян О. К., Ворович И. И. Напряженное состояние плиты малой толщины. ПММ, 1963, т. 27, вып. 6.
- Ворович И. И., Малкина О. С. Напряженное состояние толстой плиты. ПММ, 1967, т. 31, вып. 2.
- Устинов Ю. А. Некоторые свойства однородных решений неоднородных плит. Докл. АН СССР, 1974, т. 216, № 4.
- Папкович П. Ф. Об одной форме решения плоской задачи теории упругости для прямоугольной полосы. Докл. АН СССР, 1940, т. 27, № 4.
- Папкович П. Ф. Два вопроса теории изгиба тонких упругих плит. ПММ, 1941, т. 5, вып. 3.
- Гринберг Г. А. О методе, предложенном П. Ф. Папковичем, для решения плоской задачи теории упругости для прямоугольной области и задачи изгиба прямоугольной тонкой плиты с двумя закрепленными кромками и о некоторых его обобщениях. ПММ, 1954, т. 17, вып. 2.
- Устинов Ю. А., Юдович В. И. О полноте элементарных решений бигармонического уравнения в полуполосе. ПММ, 1973, т. 37, вып. 5.
- Михлин С. Г. Вариационные методы в математической физике. М., «Наука», 1970.
- Наймарк М. А. Линейные дифференциальные операторы. М., «Наука», 1969.
- Аксентян О. К., Устинов Ю. А. Построение уточненных прикладных теорий для плиты на основе уравнений теории упругости. ПММ, 1972, т. 3, вып. 2.